

УДК 677.024

**МЕТОДИКА РАСЧЕТА РАБОЧИХ НАГРУЗОК
В РЕМИЗЕ ТКАЦКОЙ МАШИНЫ**

**THE METHOD OF WORKLOADS CALCULATING
IN THE HEALD OF WEAVING MACHINE**

Е.Н. ХОЗИНА, А.Н. ГАВРИЛОВ, В.А. МАКАРОВ
E.N. KHOZINA, A.N. GAVRILOV, V.A. MAKAROV

(Российский государственный университет им. А.Н. Косыгина (Технологии. Дизайн. Искусство))
(Russian State University named after A.N. Kosygin (Technologies. Design. Art))
E-mail: hozina2006@yandex.ru, gawriloff.alexej@mail.ru

В статье предложена методика расчета кинетостатических нагрузок в опорном шарнире ремизки по восьми участкам ее движения. Установлено, что максимальная нагрузка в опорном шарнире ремизки возникает при ее подъеме от выстоя внизу до заступа и при опускании ремизки от заступа до положения выстоя внизу.

In article the calculation procedure of the kinetostatic loadings in the basic hinge of the heald on eight sites of her movement is offered. It is established that the maximum load in the basic hinge of the heald arises at her rise from dwell below a spade and when lowering the heald from a spade to position of dwelt below.

Ключевые слова: ремизка, ведущий шарнир, кинетостатическая нагрузка.

Keywords: heald, leading hinge, kinetostatic loading.

Под термином "ремизка" будем понимать рабочий орган зевообразующего механизма (ЗОМа) ткацкой машины (ТМ), предназначенный для возвратно-поступательного перемещения нитей основы в направлении, перпендикулярном ее рабочему движению в процессе ткачества. Ремизка состоит из ремизной рамы (РР) с верхней и нижней планками-галевоносителями, оснащенными набором галев с пробранными в

него частью основы (стренгой) для выработки ткани определенного раппорта переплетения. В общий блок ремизок входят также ремизки, предназначенные для формирования кромок ткани.

Нагрузка в ведущем шарнире работающей ремизки ТМ зависит от: массы ремизной рамы т_{рр}; массы галев т_г, установленных в ремизную раму; натяжения нитей основы Т_{зев} в процессе зевообразования;

числа нитей основы М_{СТР} в стренге, про- бранных в одну ремизку; длины L_i перед- него зева i-й ремизки; вылета зева i-й ре- мизки L_{Bzi}; вертикального перемещения h_{ЗЕВi}, нити основы галевом i-й ремизки от горизонтали ТМ; расстояния h_{ЗАСТi} положе- ния заступа основы i-й ремизки от горизон- тали ТМ; закона движения ремизки (S_{РЕМ}; V_{РЕМ}; а_{РЕМ}); формы и размера частей зева основы, образуемого одной ремизкой за один цикл ее движения, углов верхней α_{ВВЗ} и нижней α_{НВЗ} ветвей переднего зева; числа опорных шарниров (ОШ) ремизки к меха-

низму движения; числа оборотов пгв глав- ного вала ТМ [1].

Влияние всех перечисленных факторов приводит к возникновению в РР и ее ОШ от:

1) весов РР и ее оснастки G_{РЕМ}:

$$G_{РЕМ} = (m_{РР} + M_{СТР} m_{Г}) g, \quad (1)$$

2) сил воздействия основы на галевую ре- мизку и через них на ремизную раму N_{оч}, и определяемую как:

$$N_{оч} = f(T_{ЗЕВ}; M_{СТР}; \alpha_{ВВЗ}; \alpha_{НВЗ}; L_i; L_{Bzi}; h_{РЕМi}; h_{ЗАСТi}), \quad (2)$$

4) сил инерции F_{ин}^{РЕМ} ремизки (РР с га- левами), определяемые как:

$$F_{ин}^{РЕМ} = (m_{РР} + N_{СТР} m_{Г}) а_{РЕМ}, \quad (3)$$

где а_{РЕМ} = f(S_{РЕМ}; V_{РММ}; n_{ГВМ}) ускорение ре- мизки,

3) сил суммарного $\sum F_{РЕМ}$ воздействия работающей ремизки на рабочие шарниры механизма ее привода ЗОМа, определяе- мые как:

$$\sum F_{РЕМ} = (\pm N_{оч} \pm F_{ин}^{РЕМ} + G_{РЕМ}), \quad (4)$$

5) сил воздействия N_{РЕМ} ремизки на один рабочий шарнир механизма:

$$N_{РЕМ} = [\sum F_{РЕМ}] / n_{ош}, \quad (5)$$

где n_{ош}, ед. – число ОШ РР.

Рассмотрим режим работы ЗОМа и соот- ношение при этом указанных сил. Полный цикл движения ремизки при полотняном пе- реплетении происходит за два оборота глав- ного вала машины (ГВМ). Пятая секция ме- ханизма ремизного движения (МРД) будет наибольее нагружена, так как у 9 и 10-й реми- зок (нумерации от берда) наибольшая вели- чина полного перемещения [2].

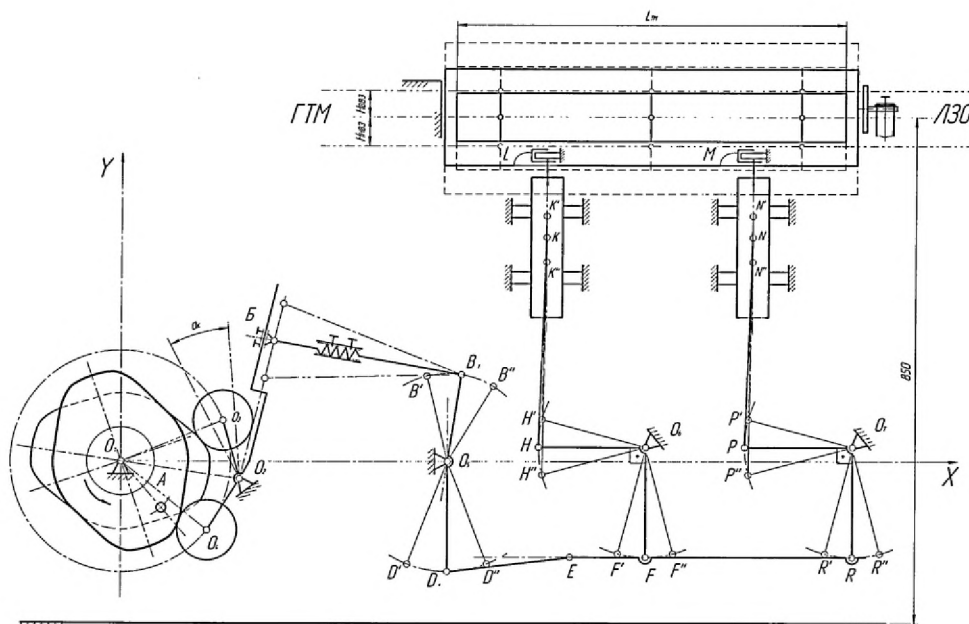


Рис. 1

За положительное направление действия силы N_{PEM} выбираем направление вверх по отношению к опорной плоскости ТМ, то есть по оси Y на кинематической схеме (КС) ЗОМ механизма МРД (рис. 1).

Сила N_{PEM}^{BH} в шарнире РР при ее выстою внизу будет равна:

$$N_{PEM}^{BH} = (N_{CTP}^{MAKC} - G_{PEM}) / \text{попш.} \quad (6)$$

Приближенно можно считать, что при выстою ремизки внизу на ведущие шарниры МРД действует только вес ремизной рамы:

$$N_{PEM}^{BH} \approx -G_{PP} / \text{попш.} \quad (7)$$

Такое допущение возможно, так как вес галев уравновешивает силу воздействия основы на ремизку, а через них она может воздействовать на РР:

$$N_{CTP} \approx G_T = m_T g. \quad (8)$$

При движении ремизки вверх к линии заступа вес РР и галев остается постоянным, а сила воздействия основы на галев и ремизку быстро падает до нуля, однако возникает и достигает максимума сила инерции. Сила на ведущем шарнире при максимальном ускорении ремизки ($1/3 \dots 1/2$ ее движения вверх к положению заступа) будет равна:

$$N_{PEM}^{DHZ} \approx -G_{PEM} - F_{IH}^{PEM} + \Delta N_{OCH}. \quad (9)$$

По сравнению с G_{PEM} и F_{IH}^{PEM} сила от натяжения основы $\Delta N_{OCH} \approx G_T$ незначительна. Можно считать, что:

$$N_{PEM}^{DHZ} \approx -(G_{PP} + F_{IH}^{PEM}) / \text{попш.} \quad (10)$$

В момент прохода РР в область заступа сила инерции равна нулю, воздействие натяжение основы отсутствует или минимально. В этом случае на шарниры МРД действует только вес ремизки:

$$N_{PEM}^{ZACT} = -G_{PEM} / \text{попш.} \quad (11)$$

Пройдя с максимальной скоростью положение заступа, ремизка начинает замедляться, и на $1/2 \dots 1/3$ ее пути сила инерции F_{IH}^{PEM} , направлена против движения ремизки. Тогда сила в ведущем шарнире равна:

$$N_{PEM}^{DBB} \approx (-G_{PEM} + F_{IH}^{PEM} - \Delta N_{OCH}) / \text{попш.} \quad (12)$$

При подходе ремизки к положению открытого зева сила натяжения основы тормозит ее и тем самым увеличивает силу воздействия на ремизку. Примем что $\Delta N_{OCH} \geq G_T$. На участке движения от заступа к выстою вверху ремизка будет воздействовать на ОШ МРД с силой:

$$N_{PEM}^{DBB} = [-(G_{PP} + 2G_T) + F_{IH}^{PEM}] / \text{попш.} \quad (13)$$

Дойдя до положения открытого зева ремизка останавливается, то есть – выстой, вверху на нее действуют одновременно две силы G_{PEM} и N_{CTP}^{MAKC} :

$$N_{PEM}^{BB} = -(G_{PEM} + N_{CTP}^{MAKC}) / \text{попш.} \quad (14)$$

Условно принимая, что $N_{CTP}^{MAKC} \approx G_T$, можно считать:

$$N_{PEM}^{BB} = -(G_{PP} + 2G_T) / \text{попш.} \quad (15)$$

Из выстою вверху ремизка начинает обратное движение вниз, и на $1/3 \dots 1/2$ ее пути, не доходя до положения заступа, сила инерции ремизки и галев направлена вверх, то есть против сил веса РР достигает максимума:

$$N_{PEM}^{DHZ} \approx (-G_{PEM} + F_{IH}^{PEM} - \Delta N_{OCH}) / \text{попш.} \quad (16)$$

Допустив, что $\Delta N_{OCH} \approx G_T$, а $F_{IH}^{PEM} = m_{PP} \cdot a_{PEM}$, тогда

$$N_{PEM}^{DHZ} \approx [m_{PP} (a_{PEM} - g) - 2 G_T] / \text{попш.} \quad (17)$$

В области заступа $\Delta N_{\text{OCH}} = 0$, а ремизка движется с постоянной скоростью, то есть $F_{\text{ин}}^{\text{PEM}} = 0$. В этом случае:

$$N_{\text{PEM}}^{\text{ЗАСТ}} = -G_{\text{PEM}} / \text{нош.} \quad (18)$$

При движении от заступа к выстою в нижнем положении сила инерции ремизки будет максимальна и будет направлена так же, как и сила веса, но против возрастающего натяжения основы ТСТР, и при этом $\Delta N_{\text{OCH}} \approx G_T$. Тогда $N_{\text{PEM}}^{\text{ДВВ}}$ определяется следующим образом:

$$N_{\text{PEM}}^{\text{ДВВ}} \approx -(G_{\text{PP}} + F_{\text{ин}}^{\text{PEM}}) / \text{нош.} \quad (19)$$

Дойдя до своего нижнего положения, ремизка выстаивает при $\Delta N_{\text{OCH}} \approx G_T$. На ведущие шарниры будет действовать сила, определяемая как:

$$N_{\text{PEM}}^{\text{ВН}} \approx -G_{\text{PP}} / \text{нош.} \quad (20)$$

Нагрузка на ОШ ремизки в нижнем выстое будет минимальной:

$$N_{\text{PEM}}^{\text{ВН}} < N_{\text{PEM}}^{\text{ЗАСТ}} < N_{\text{PEM}}^{\text{БВ}}.$$

При движении ремизки от заступа вверх, к выстою в верхнее положение, и движении вниз, из выстое вверху к заступу, нагрузка на ведущий шарнир определяется соотношением веса ремизки и силы ее инерции:

$$\begin{aligned} N_{\text{PEM}}^{\text{ДВВ}} &= -(G_{\text{PP}} - F_{\text{ин}}^{\text{PEM}}) / \text{нош;} \\ N_{\text{PEM}}^{\text{ДНЗ}} &= [m_{\text{PP}}(a_{\text{PEM}} - g) - 2G_T] / \text{нош;} \\ N_{\text{PEM}}^{\text{ДНЗ}} &\geq N_{\text{PEM}}^{\text{ДВВ}}. \end{aligned}$$

Масса и вес РР различных видов в зависимости от ширины заправки ТМ приведены в табл. 1 (масса* ремизных рам для ТМ СТБ и СТБУ, поставляемых основными заводами-изготовителями: МЭЗ-1, Тэксо, Ремиз, Элитекс, Гроб).

Таблица 1

№ п/п	Типоразмер станка СТБ	Масса ремизной рамы (без оснастки), кг						
		МЭЗ-1 (г. Москва)		Тэксо (г. Москва)		Ремиз (г. Иваново)		Элитекс (Чехия)
		сталь под витые галевы	алюминий под пластинчатые галева					
1	СТБ(У)-180	3,9	4,8	4,6	3,6	4,6	5,2	4,5
2	СТБ(У)-220	4,7	5,8	5,5	4,2	5,4	6,3	5,4
3	СТБ(У)-250	5,4	6,7	6,4	4,9	6,3	7,2	6,3
4	СТБ(У)-280	6,1	7,6	7,2	5,6	7,0	7,9	7,0
5	СТБ(У)-330	7,0	9,1	8,6	6,6	8,4	9,5	8,4
6	СТБ(У)-360	7,6	10,1	9,5	8,3	10,3	10,4	9,4
7	СТБ(У)-390	8,2	10,9	10,4	8,9	11,1	11,5	10,4
8	СТБ(У)-450	9,5	12,5	12,0	10,1	12,4	13,2	11,9

Примечание. *Масса указана без оснастки витыми или пластинчатыми галевами.

Масса и вес галев в ремизке зависят от вида галев (витое, пластинчатое), от плотности и раппорта вырабатываемой ткани по основе и от заправочной ширины ТМ [3]. Эти параметры приведены в табл. 2 (зави-

симость технологической нагрузки N_t на 10-ю ремизку ТМ СТБ(У) от заправочной ширины L_{TM} и вида основной пряжи, галева пластинчатые, мах галев 280 мм, вес 100 шт – 1,74...1,8 Н).

Таблица 2

L_{TM} , см	180	220	250	280	330	360	390	420	450
$L_{max}^{пo бeрд.}$, см	174	214	246	276	324	354	384	412	442
M_{T3} , ед, число нитей в ткацкой заправке									
	4300	5300	6100	6900	8100	8800	9600	10300	11000
M_{T3} , ед, число нитей в 1 ремизке									
	500	650	760	860	1000	1100	1200	1300	1400
G_{rem} , Н	81,0	88,2	99,5	123,2	138,3	154,0	169,7	177,8	186,4
Вес галев G_{pr} , Н	9,0	11,8	13,5	15,3	17,7	19,5	21,3	23,2	24,1
ΣG_{rem} , Н	90,0	100,0	113,0	138,5	156,0	173,5	191,0	201,0	210,5
F_T , Н/нить, при $N_T = G_{rem}$	0,18	0,17	0,17	1,16	0,16	0,16	0,16	0,15	0,15
N_T , Н, при $\alpha_3 = 28^\circ$, шерсть	184	290	280	315	370	405	440	475	515
N_T , Н, при $\alpha_3 = 24^\circ$, х/б	85	110	120	145	170	185	205	220	240
N_T , Н, при $\alpha_3 = 18^\circ$, лен	67,5	88,0	102,5	116,0	135,0	148,5	162,0	175,5	189,0

Примечание. $F_T^{шерсть} = 0,368$; $F_T^{х/б} = 0,17$; $F_T^{лен} = 0,134$.

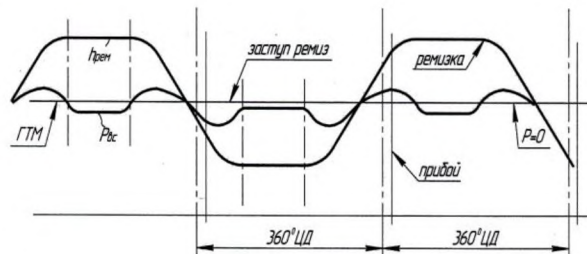
По формулам (6), (10), (11), (15)...(20) определяем максимальные и текущие значения силы в ведущем шарнире МРД, на всех восьми участках ее движения, и увеличиваем расчетные их значения на 7...12%.

Для учета влияния сил трения в шарнирах и иных диссипативных сопротивлений движению ремизке, ползунам, рычагам и тягам МРД следует увеличить расчетные значения нагрузок в шарнире в МРД на 10...15% [4].

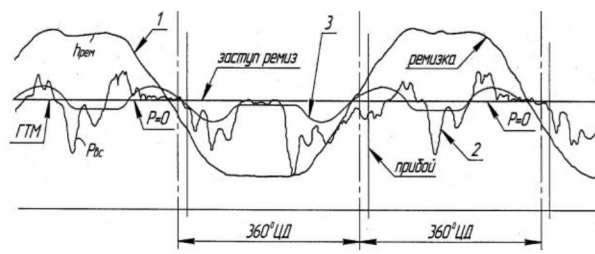
На рис. 2-а приведен график изменения расчетной, кинетостатической нагрузки в опорном шарнире, РР, шарнир L (рис. 1), когда инерционная нагрузка ремизки F_{in}^{REM} в три раза превосходит вес G_{REM} ремизки, а суммарный вес галев G_T составляет 20% от веса РР. В табл. 3 приводятся значения максимальных нагрузок в ОШ, рассчитанные относительно силы веса РР.

На рис. 2-б представлен график изменения нагрузок в ведущем шарнире привода, но с учетом собственной частоты динамической нагрузки в Р-С передаче (амплитуда

динамической составляющей 25% от максимальной расчетной, кинетостатической нагрузки $N_{REM}^{ДВЗ}$).



а)



б)

Рис. 2

Таблица 3

L_{TM} , м	1,8	1,8	1,8	2,8	3,3	3,6	3,9	4,2	4,5
F , Н	960	810	780	950	920	955	1005	1060	1035
a_g	4,8g	3,6g	3,1g	2,9g	2,5g	2,4g	2,3g	2,2g	2,0g
%	100%	84,4%	81,3%	99%	96%	99,5%	105%	110,4%	108%

ВЫВОДЫ

1. Предложены формулы расчета кинетостатических нагрузок в ОШ ремизки по восьми участкам ее движения.

2. Выявлено, что максимальная нагрузка в ОШ ремизки развивается при ее подъеме от выстоя внизу до заступа и при опускании ремизки от заступа до положения выстоя внизу.

3. Расчет прочности, надежности и долговечности РР и элементов их МРД следует производить с учетом значений параметров движения 10-й ремизки (5-я секция) ЗОМа ТМ с кулачковым приводом и 18-й ремизки при кареточном приводе.

4. Для снижения обрывности кромочной основы производить заправку кромочных нитей в ремизки, первые от берда, увеличивая их ход на 25...30% от их перемещений, соответствующих установке "чистого зева".

ЛИТЕРАТУРА

1. Макаров В.А., Хозина Е.Н., Лебзак А.В. О выборе закона движения, применяемого в приводе зевообразующего механизма (ЗОМ) ткацкого станка // Изв. вузов. Технология текстильной промышленности. – 2004, №6. С. 83..87.

2. Макаров В.А., Хозина Е.Н., Лебзак А.В. САПР для расчета наладочных параметров кулачковой коробки по заданному технологическому зеву // В мире оборудования / Легпромбизнес. – 2004, №5. С. 28...30.

3. Гордеев В.А. Динамика механизмов отпуска и натяжения основы ткацких станков. – М.: Легкая индустрия, 1965.

4. Теория механизмов и машин / К.В. Фролов, С.А. Попов, А.К. Мусатов и др. / Под ред. К.В. Фролова. – М.: Высшая школа, 1987.

REFERENCES

1. Makarov V.A., Hozina E.N., Lebzak A.V. O výbere zakona dvizhenija, primenjaemogo v privode zovoobrazujushhego mehanizma (ZOM) tkackogo stanka // Izv. vuzov. Tehnologija tekstil'noj promyshlennosti. – 2004, №6. S. 83..87.

2. Makarov V.A., Hozina E.N., Lebzak A.V. SAPR dlja rascheta naladochnyh parametrov kulachkovoj korobki po zadannomu tehnologicheskomu zevu // V mire oborudovaniya / Legprombiznes. – 2004, № 5. S. 28...30.

3. Gordeev V.A. Dinamika mehanizmov otpuska i natjazhenija osnovy tkackih stankov. – M.: Legkaja industrijja, 1965.

4. Teoriya mehanizmov i mashin / K.V. Frolov, S.A. Popov, A.K. Musatov i dr. / Pod red. K.V. Frolova. – M.: Vysshaja shkola, 1987.

Рекомендована кафедрой технологических машин и оборудования . Поступила 15.10.15.